

CSC1/2562

เอกสารเค้าโครงโครงการวิจัยทางวิทยาการคอมพิวเตอร์

การวิเคราะห์รูปแบบการโจมตีโดยปฏิเสธการให้บริการบนเครือข่ายอินเทอร์เน็ตประสาน  
สรรพสิ่งด้วยเทคนิคการเรียนรู้ของเครื่อง

Pattern Analysis of Denial of Service Attack in Internet of Things Networks  
using Machine Learning

โดย

593021270-9 นางสาวทิตยา ศรีวุฒิทรัพย์

อาจารย์ที่ปรึกษา : ผศ.ดร.ชิตสุธา สุ่มเล็ก

ตำแหน่ง ผู้ช่วยศาสตราจารย์

สาขาวิชาวิทยาการคอมพิวเตอร์ คณะวิทยาศาสตร์ มหาวิทยาลัยขอนแก่น

รายงานนี้เป็นส่วนหนึ่งของการศึกษาวิชา 322 498 โครงการวิจัยทางวิทยาการคอมพิวเตอร์

ภาคเรียน 1 ปีการศึกษา 2562

สาขาวิชาวิทยาการคอมพิวเตอร์ คณะวิทยาศาสตร์

มหาวิทยาลัยขอนแก่น

(เดือน กันยายน พ.ศ. 2562)

## การเสนอเค้าโครงโครงการคอมพิวเตอร์

สาขาวิชาวิทยาการคอมพิวเตอร์ คณะวิทยาศาสตร์ มหาวิทยาลัยขอนแก่น

ชื่อ นางสาวติตยา ศรีวุฒิทรัพย์ รหัสประจำตัว 593021270-9

Miss Titaya Sriwuttisap

นักศึกษาระดับปริญญาตรี วิทยาการคอมพิวเตอร์

อาจารย์ที่ปรึกษาโครงงาน ผศ.ดร.ชิตสุธา สุ่มเล็ก

Project Advisor Asst. Prof. Chitsutha Soomlek

### 1. ชื่อหัวข้อโครงงาน

ภาษาไทย การวิเคราะห์รูปแบบการโจมตีโดยปฏิเสธการให้บริการบนเครือข่ายอินเทอร์เน็ตประสานสรรพสิ่งด้วยเทคนิคการเรียนรู้ของเครื่อง

ภาษาอังกฤษ Pattern Analysis of Denial of Service Attack in Internet of Things Networks using Machine Learning

### 2. หลักการและเหตุผล

ปัจจุบันอยู่ในยุคที่เทคโนโลยีกำลังพัฒนาไปได้อย่างก้าวไกล การเชื่อมต่ออินเทอร์เน็ตไม่จำกัดอยู่เพียงบนคอมพิวเตอร์หรือโทรศัพท์อีกต่อไป สังเกตได้ว่าอุปกรณ์ที่เชื่อมต่อกับอินเทอร์เน็ตนอกจากคอมพิวเตอร์และโทรศัพท์ที่มีจำนวนมากขึ้น เช่น กล้องวงจรปิด นาฬิกาข้อมือ รถยนต์ เป็นต้น เพื่ออำนวยความสะดวกต่อผู้ใช้งาน แต่ทว่าเมื่ออุปกรณ์เหล่านี้มีมากขึ้นก็มักนำมาซึ่งภัยคุกคามต่าง ๆ อุปกรณ์ IoT เคยถูกควบคุมเพื่อใช้ในการโจมตีทางไซเบอร์อยู่หลายครั้ง สาเหตุหลักเกิดจากอุปกรณ์จำนวนมากถูกติดตั้งโดยใช้รหัสผ่านที่มาจากโรงงาน ทำให้ผู้ประสงค์ร้ายสามารถล็อกอินเข้าไปติดตั้งมัลแวร์ในอุปกรณ์ดังกล่าวเพื่อควบคุมมาใช้ในการโจมตีได้ หนึ่งในเหตุการณ์ที่เคยเกิดขึ้นคือมีการใช้มัลแวร์ชื่อ Mirai ควบคุมอุปกรณ์ IoT ไปโจมตีแบบ DDoS ความรุนแรงสูงถึง

1.1 Tbps [1] จากเหตุการณ์ดังกล่าวทำให้รู้ว่าควรให้ความสำคัญกับความปลอดภัยบนอุปกรณ์ IoT อย่างมาก

ดังนั้นในงานวิจัยนี้ผู้วิจัยจึงทำการนำชุดข้อมูลจากการโจมตีแบบ Mirai บนอุปกรณ์ IoT มาวิเคราะห์รูปแบบการโจมตีเพื่อหาวิธีตรวจจับที่แม่นยำขึ้น

### 3. วัตถุประสงค์ของโครงงาน

3.1 เพื่อวิเคราะห์รูปแบบการโจมตีโดยปฏิเสธการให้บริการบนเครือข่ายอินเทอร์เน็ตประสานสรรพสิ่งด้วยเทคนิคการเรียนรู้ของเครื่อง

3.2 เพื่อสร้างโมเดลการตรวจจับการโจมตีโดยปฏิเสธการให้บริการบนเครือข่ายอินเทอร์เน็ตประสานสรรพสิ่งด้วยเทคนิคการเรียนรู้ของเครื่อง

## 4. ทฤษฎีและผลงานวิจัยที่เกี่ยวข้อง

### 4.1 Internet of Things (IoT)

IoT คือ การที่อุปกรณ์ต่าง ๆ เชื่อมต่อกับอินเทอร์เน็ต และอุปกรณ์ยังสามารถสื่อสารกันเองผ่านทางโปรโตคอล IP ซึ่งอุปกรณ์จำเป็นต้องทำงานร่วมกับ Radio Frequency Identification (RFID), Quick Response (QR) และเซ็นเซอร์เพื่อเปิดใช้การสื่อสารระหว่างอุปกรณ์ [2]

ลักษณะของ Internet of Things (IoT) มี 6 ประการดังนี้ [3]

1. เชื่อมโยงถึงกัน (Interconnected) คือ อำนาจความสะดวกให้มนุษย์กับอุปกรณ์ และอุปกรณ์เชื่อมต่อกันระหว่างอุปกรณ์
2. การตรวจจับอัจฉริยะ (Smart Sensing) คือ อุปกรณ์ที่เชื่อมต่อกับ IoT จะมีความสามารถในการตรวจจับอัจฉริยะ เช่น การตรวจจับการเคลื่อนไหว หรืออุณหภูมิจากนั้นทำการตอบสนองต่อสิ่งเหล่านั้นตามที่ได้ถูกตั้งโปรแกรม
3. สติปัญญา (Intelligence) คือ อุปกรณ์ที่เชื่อมต่อ IoT สามารถมีสติปัญญาโดยอุปกรณ์อาจถูกติดตั้งปัญญาประดิษฐ์ (Artificial Intelligence – AI) เพื่อเพิ่มความสามารถของอุปกรณ์ให้มากขึ้น
4. ประหยัดพลังงาน (Save Energy) คือ อุปกรณ์จะพยายามประหยัดพลังงานอย่างมีประสิทธิภาพ เช่น การที่เปิดไฟเมื่อมีการเคลื่อนไหว ทำให้ช่วงเวลาที่ไม่มีคนอยู่ไฟจะปิดเองอัตโนมัติเป็นการลดการใช้พลังงานลง
5. การแสดงออก (Expressing) คือ อุปกรณ์ที่เชื่อมต่อ IoT มีความสามารถพิเศษในการบอกสถานะปัจจุบันไปยังอุปกรณ์ที่เชื่อมต่ออื่น ๆ ในบริเวณโดยรอบ มันอำนวยความสะดวกในการสื่อสารที่ดีขึ้นระหว่างมนุษย์และเครื่องจักร
6. ความปลอดภัย (Safety) คือ อุปกรณ์ที่เชื่อมต่อ IoT สามารถช่วยรับรองความปลอดภัยของชีวิตบุคคล เช่น การแจ้งเตือนผ่านระบบ เมื่ออุปกรณ์มีการทำงานที่ผิดปกติ

### 4.2 Denial of Service (DoS) และ Distributed Denial of Service (DDoS)

Denial of Service คือ การพยายามทำให้บริการของเครื่องเหยื่อไม่สามารถให้บริการได้ทั้งแบบชั่วคราวหรือถาวร [4]

Distributed Denial of Service คือ การพยายามทำให้บริการของเครื่องเหยื่อไม่สามารถให้บริการได้ทั้งแบบชั่วคราวหรือถาวร โดยแทนที่จะเป็นคอมพิวเตอร์หนึ่งเครื่องกลับใช้เป็นคอมพิวเตอร์จำนวนมากแทน ซึ่งผู้โจมตีจะใช้เครื่องมือที่จะใช้ในการโจมตีไปติดตั้งบนคอมพิวเตอร์ที่ถูกควบคุมไว้แล้ว จากนั้นทำการออกคำสั่งให้คอมพิวเตอร์จำนวนมากโจมตีไปยังเป้าหมาย [4]

ซึ่งสามารถแบ่งการโจมตีแบบ Denial of Service (DoS) และ Distributed Denial of Service (DDoS) ได้เป็น 5 ประเภทดังนี้

1. SYN flood คือ ประเภทของการโจมตี DoS ที่ผู้โจมตีส่งชุดของการร้องขอ SYN ไปยังระบบเป้าหมายในความพยายามที่จะใช้ทรัพยากรเซิร์ฟเวอร์จำนวนมากเพื่อให้ระบบไม่ตอบสนองต่อการรับส่งข้อมูลที่ถูกต้อง [4]
2. Teardrop Attacks คือ การส่งแพ็กเก็ตที่ไม่สามารถประกอบได้ไปให้เครื่องเป้าหมายเพื่อให้เกิดความสับสนตามปกติหากมีข้อมูลขนาดใหญ่ต้องการส่งผ่านเราเตอร์จะต้องทำการแบ่งเป็นส่วนย่อยโดยการ Fragment ก่อน จากนั้นเมื่อปลายทางได้ครบจะทำการประกอบเข้าด้วยกันเพื่อให้ได้ข้อมูลที่สมบูรณ์ แต่การจะรวมได้ต้องใช้ค่า Offset ที่ปรากฏอยู่ในแพ็กเก็ตแรกและแพ็กเก็ตถัดไป สำหรับการโจมตีแบบ Teardrop นี้ ผู้โจมตีจะส่งค่า Offset ในแพ็กเก็ตที่สองและต่อ ๆ ไปที่จะทำให้เครื่องรับปลายทางเกิดความสับสน หากระบบปฏิบัติการไม่สามารถรับมือกับปัญหานี้ก็จะทำให้ระบบหยุดการทำงานในทันที [5]

3. Low-rate Denial-of-Service attacks (LDoS) คือ การออกแบบมาเพื่อใช้ประโยชน์จากอัตราส่วนของเวลาในระดับซ้ำของ TCP ความสามารถในการดำเนินการกลไกการหมดเวลาส่งสัญญาณ (RTO) เพื่อลดปริมาณงาน TCP ในระยะสั้น ผู้โจมตีสามารถสร้าง TCP overflow ได้โดยการเข้าสู่สถานะ RTO ซ้ำ ๆ ผ่านการส่งอัตราสูงและจำนวนมาก ในขณะที่ RTO ทำการจับเวลาซ้ำ ปริมาณข้อมูล TCP ที่โหนดของเป้าหมายจะลดลงอย่างมากในขณะที่ผู้โจมตีจะมีอัตราเฉลี่ยต่ำจึงทำให้ตรวจจับได้ยาก [4]
4. Internet Control Message Protocol (ICMP) flood คือ โพรโทคอลไร้การเชื่อมต่อที่ใช้สำหรับการดำเนินงาน IP การวินิจฉัยและข้อผิดพลาด ICMP Flood การส่งแพ็คเก็ต ICMP จำนวนมากอย่างผิดปกติทุกประเภท (โดยเฉพาะการทดสอบแพ็คเก็ต "ping") สามารถแฝงเครือข่ายเซิร์ฟเวอร์เป้าหมายที่พยายามประมวลผลคำขอ ICMP ที่เข้ามาทั้งหมดและอาจส่งผลให้เกิดการปฏิเสธ เงื่อนไขการให้บริการสำหรับเซิร์ฟเวอร์เป้าหมาย [4]
5. Peer-to-peer attacks คือ เครือข่ายแบบกระจายซึ่งแต่ละโหนดในเครือข่าย (peer) ทำหน้าที่เป็นทั้งผู้จัดหา (seed) และผู้บริโภค (leeches) ของทรัพยากร ตรงกันข้ามกับโมเดลไคลเอนต์ - เซิร์ฟเวอร์ส่วนกลางที่ไคลเอนต์ - เซิร์ฟเวอร์หรือโหนดระบบปฏิบัติการร้องขอการเข้าถึงทรัพยากรจากเซิร์ฟเวอร์ส่วนกลาง [4]

#### 4.3 Naive Bayes

หลักการของวิธี Naive Bayes จะใช้การคำนวณความน่าจะเป็นซึ่งจะมีการใช้สมการที่เรียกว่า Bayes' theorem [6] หรือทฤษฎีของเบย์โดยมีสมการดังนี้

$$P(h | D) = P(D | h) * P(h) / P(D) \quad (1)$$

จากสมการข้างต้นสามารถสร้างคำนวณความน่าจะเป็นของการจำแนกประเภทอย่างง่ายได้ดังนี้

$$P(d | h) = P(a_1, \dots, a_n | h) = P(a_1 | h) \dots P(a_n | h) \quad (2)$$

#### 4.4. Generalize Linear Model (GLM)

GLM เป็นวิธีการทางสถิติที่ใช้ในการวิเคราะห์ข้อมูลที่มีการติดตามระยะยาว (Longitudinal data) และมีการวัดซ้ำค่าสังเกตของตัวแปรตามที่น่าสนใจที่เกิดขึ้นภายใต้หน่วยศึกษาเดียวกัน (Cluster/Subject) ที่มีกพว่าค่าสังเกตดังกล่าวมีความสัมพันธ์กันเอง (Correlated data) โดยได้ขยายวิธีการดังกล่าวมาจากตัวแบบเชิงเส้นน้อยทั่วไป (Generalized Linear Model: GLM) [7] ด้วยการนำรูปแบบความสัมพันธ์ของค่าสังเกตที่น่าสนใจ (Working Correlation Structure) ไปพิจารณาในการวิเคราะห์สมการหรือตัวแบบ อีกทั้งยังมีข้อดีกว่า GLM คือค่าสังเกตหรือตัวแปรตามไม่จำเป็นต้องมีการแจกแจงในวงเลขชี้กำลัง (exponential family) ซึ่งทำให้สามารถนำไปวิเคราะห์ข้อมูลที่ไม่ใช่ค่าต่อเนื่องได้ โดยเฉพาะข้อมูลเชิงกลุ่ม (Count data) ที่มีการเก็บรวบรวมไว้ในด้านต่าง ๆ

ไม่ว่าจะเป็นทางการแพทย์ การเกษตร การสาธารณสุข หรือแม้แต่ในด้านธุรกิจ เช่น การศึกษาติดตามระยะยาวจำนวนการเกิดอุบัติเหตุบนทางหลวง การศึกษาติดตามระยะยาวจำนวนการเรียกค่าสินไหมทดแทนการประกันภัย เป็นต้น

#### 4.5 Logistic Regression

Logistic Regression [8] เป็นการพยากรณ์ความน่าจะเป็นของผลลัพธ์ที่จะเกิดขึ้นซึ่งสามารถเป็นได้เพียง 2 ค่า โดยการพยากรณ์จะขึ้นกับตัวแปรที่ส่งผลต่อเหตุการณ์นั้นๆซึ่งอาจจะมีเพียงหนึ่งตัวหรือมากกว่า

#### 4.6 Neural Network

Neural Network มีโครงสร้างและการทำงานของการทำงานของการประมวลผลเหมือนกับสมองของสิ่งมีชีวิตซึ่งมีปรับเปลี่ยนตัวเองต่อการตอบสนองของอินพุตตามกฎของการเรียนรู้ (Learning rule) หลังจากที่ได้เรียนรู้สิ่งที่ต้องการแล้ว โครงข่ายนั้นจะสามารถทำงานที่กำหนดไว้ได้โครงข่ายประสาทเทียมได้ถูกพัฒนาคิดค้นจากการทำงานของสมองมนุษย์โดยสมองมนุษย์ประกอบไปด้วยหน่วยประมวลผลเรียกว่า นิวรอน ( เซลล์ประสาท หรือ Neuron) จำนวนนิวรอนในสมองมนุษย์มีอยู่ประมาณและมีการเชื่อมต่อกันอย่างมากมาย สมองมนุษย์จึงสามารถกล่าวได้ว่าเป็นคอมพิวเตอร์ที่มีการปรับตัวเอง (Adaptive) ไม่เป็นเชิงเส้น (Nonlinear) และทำงานแบบขนาน (Parallel) ในการดูแลจัดการการทำงานร่วมกันของนิวรอนในสมอง การคำนวณเชิงนิวรอนเป็นการคำนวณที่เลียนแบบมาจากการทำงานของสมองมนุษย์นั่นเอง [9]

#### 4.7 k-Nearest Neighbors (k-nn)

หนึ่งในวิธีสำหรับการจำแนกรูปแบบคือ k- Nearest Neighbors (k-NN) [10] แยกประเภทของวัตถุที่ไม่มีชื่อแต่ละอันตามป้ายกำกับ k-Nearest Neighbors แม้จะมีความเรียบง่าย แต่กฎของ k-NN มักให้ผลการแข่งขันและในบางโดเมนเมื่อรวมเข้ากับความรู้ก่อนหน้าอย่างชาญฉลาดจะมีความก้าวหน้าอย่างมีนัยสำคัญขึ้นสูง

ผลของ k-NN จัดหมวดหมู่ขึ้นอย่างมีนัยสำคัญเกี่ยวกับตัวชี้วัดที่ใช้ในการคำนวณระยะทางระหว่างเวกเตอร์คุณลักษณะที่แตกต่างกัน [10] ในการศึกษาที่ใช้ระยะทางแบบยุคลิด ระยะห่างระหว่างจุดสอง  $X(x_1, x_2, x_3, \dots, x_n)$  และ  $Y(y_1, y_2, y_3, \dots, y_n)$  อธิบายได้ดังนี้

$$d = \sqrt{\sum_{i=1}^n (x_i - y_i)^2} \quad (3)$$

#### 4.8 Decision Tree

หลักการของวิธี Decision Tree [11] เป็นการเรียนรู้โดยการจำแนกประเภท (Classification) ข้อมูลออกเป็นกลุ่ม (Class) ต่าง ๆ โดยใช้คุณลักษณะ (Attribute) ข้อมูลในการจำแนกประเภท ซึ่งทำให้สามารถทราบได้ว่าคุณลักษณะมาเป็นตัวกำหนดการจำแนกประเภท และคุณลักษณะแต่ละตัวมีความสำคัญมากน้อยเท่าใด

#### 4.9 Random Forest

หลักการของวิธี Random Forest [12] ใช้การสุ่มข้อมูล และสุ่มเลือกคุณลักษณะต่าง ๆ ออกมาเป็นหลาย ๆ ชุดและจากนั้นนำมาสร้างโมเดลด้วยเทคนิค Decision Tree หลาย ๆ ต้น

#### 4.10 Receiver Operating Characteristic (ROC)

การวิเคราะห์ประเมินความถูกต้อง และประสิทธิภาพของแบบจำลองที่ใช้ทำนายข้อมูลด้วย ROC [13] (Receiver Operating Characteristic) เป็นการทดสอบประสิทธิภาพแบบจำลองที่ทำการพิจารณาในรูปแบบของกราฟ โดยวิธีการสร้าง ROC curve มาใช้เพื่อเลือกจุดตัดที่เหมาะสม เป็นความสัมพันธ์ระหว่าง True positive rate (Sensitivity) กับ False positive rate (1-Specificity) ด้วยการแปรค่าจุดตัด (Cut – off point) ซึ่งอาจจะยังไม่สามารถให้ผลลัพธ์ที่ได้ดีนัก โดยรวมเหมาะกับการวิเคราะห์ปัญหาที่มีคำตอบเป็นค่าบวกหรือลบ

#### 4.11 Extreme Learning Machine (ELM)

ELM เป็นขั้นตอนวิธีที่มีความเร็ว มีโครงสร้างการทำงานแบบ Single-hidden layer feed forward neural networks (SLFNs) แต่ทว่า ELM [14] ยังคงใช้หลักการสุ่มเพื่อทำการกำหนดค่าน้ำหนักในชั้นนำเข้าข้อมูล และค่าเอนเอียงในชั้นซ่อน ทำให้มีโอกาสที่จะนำไปสู่ค่าเหมาะสมเฉพาะที่ (Local optimal)

#### 4.12 Confusion Matrix

Confusion Matrix คือ การประเมินผลลัพธ์การทำนาย (หรือผลลัพธ์จากโปรแกรม) เปรียบเทียบกับผลลัพธ์จริง ๆ ที่หาโดยคน [15]

True Positive (TP) คือ สิ่งที่โปรแกรมทำนายว่าจริง และคนบอกว่ามันจริง

True Negative (TN) คือ สิ่งที่โปรแกรมทำนายว่าไม่จริง และคนบอกว่ามันไม่จริง

False Positive (FP) คือ สิ่งที่โปรแกรมทำนายว่าจริง แต่คนบอกว่ามันไม่จริง

False Negative (FN) คือ สิ่งที่โปรแกรมทำนายว่าไม่จริง แต่คนบอกว่ามันจริง

การหาค่าต่าง ๆ จาก Confusion Matrix มีดังนี้ [16]

1. Accuracy คือ ค่าที่บอกว่าโปรแกรมสามารถทำนายได้แม่นยำขนาดไหน หาได้จาก  $(TP+TN)/(TP+TN+FP+FN)$

2. Recall (True Positive Rate) คือ ค่าที่บอกว่าโปรแกรมทำนายได้ว่าจริง เป็นอัตราส่วนเท่าไรของจริงทั้งหมด หาได้จาก  $TP/(TP+FN)$

3. True Negative Rate (TNR) คือ ค่าที่บอกว่าโปรแกรมทำนายได้ว่าไม่จริง เป็นอัตราส่วนเท่าไรของจริงทั้งหมด หาได้จาก  $TN/(TN+FP)$

4. False Positive Rate (TPR) คือ ค่าที่บอกว่าโปรแกรมทำนายว่าจริง เป็นอัตราส่วนเท่าไรของไม่จริงทั้งหมด หาได้จาก  $FP/(TN+FP)$

5. False Negative Rate (FNR) คือ ค่าที่บอกว่าโปรแกรมทำนายว่าไม่จริง เป็นอัตราส่วนเท่าไรของจริงทั้งหมด หาได้จาก  $FN/(TP+FN)$

6. Precision คือ ค่าที่บอกว่าโปรแกรมทำนายว่าจริง ถูกต้องเท่าไร หาได้จาก  $TP/(TP+FP)$

#### 4.13 Area Under <ROC> Curve (AUC)

AUC [16] เป็นอีกหนึ่ง Metric ยอดนิยมที่ใช้กันแทบทุกงานเลย AUC มีค่าอยู่ระหว่าง 0-1 ยิ่งเข้าใกล้ 1 แปลว่าโมเดลในภาพรวมสามารถทำนาย y ได้ดีมาก

AUC = 0.50 ไม่ต่างอะไรกับการเดาสุ่มเลย

AUC > 0.70 คือเกณฑ์มาตรฐานสำหรับโมเดลส่วนใหญ่

AUC > 0.80 โมเดลทำงานได้ดี

AUC > 0.90 โมเดลทำงานได้ดีมาก

#### 4.14 F-measure

ค่าประสิทธิภาพโดยรวม (F-measure) หมายถึง การวัดประสิทธิภาพโดยรวมของทั้งสองค่าระหว่างค่าความแม่นยำ และค่าความครบถ้วนซึ่งนำ ค่าทั้งสองมาคำนวณร่วมกัน [17]

$$F\text{-Measure} = 2 \times \text{Precision} \times \text{Recall} / (\text{Precision} + \text{Recall}) \quad (4)$$

#### 4.15 Survey on Android Malware Detection and Protection using Data Mining Algorithms [18]

ในงานวิจัยนี้ศึกษาเกี่ยวกับประสิทธิภาพของอัลกอริทึมการทำเหมืองข้อมูลเช่น Naive Bayes, J48, Multiclass Classifier, Random Tree, SVM, Decision Tree อัลกอริทึมแต่ละอันถูกประเมินโดยเกณฑ์ต่าง ๆ เพื่อระบุว่าอันไหนที่เหมาะสมในการตรวจจับซอฟต์แวร์ที่เป็นอันตราย ชุดข้อมูลจะถูกเปรียบเทียบและประเมินผลโดยใช้ Confusion matrix เพื่อหาค่าความถูกต้อง (Accuracy)

สรุปผลการทดลองได้ว่า Multiclass ทำงานได้ดีกว่าอัลกอริทึมอื่น แต่ Naive Bayes ช่วยลดความซับซ้อนของเวลาในกระบวนการตรวจจับ

#### 4.16 Machine learning-based recommendation trust model for machine-to-machine communication [19]

ในงานวิจัยนี้ทำการวิเคราะห์เปรียบเทียบจะดำเนินการกับหัวข้อการเรียนรู้ของเครื่องที่แตกต่างกัน คือ Naive Bayes (NB), Decision Tree (DT), Linear and Radial Support Vector Machine (SVM), KNearest Neighbor (KNN) และ Random Forest (RF) เพื่อตรวจสอบประสิทธิภาพการทำงานของโมเดลเหล่านี้มีการใช้มาตรการการคำนวณความน่าเชื่อถือสองแบบ Receiver Operating Characteristics (ROCs), Precision and Recall ซึ่งโปรแกรมที่ใช้ในการทดลอง คือ Matlab กำหนดโหนดที่เป็นอันตรายมีการเปลี่ยนแปลงในช่วง 10%, 20%, 30%, 40%

#### 4.17 Intrusion Detection for IoT Based on Improved Genetic Algorithm and Deep Belief Network Computing [20]

ในงานวิจัยนี้เสนอกลไกในการตรวจจับการโจมตีที่ไม่เหมาะสมใน IoT LLNs โดยใช้วิธีการMultilayer Perceptron (MLP) เป็นเครื่องมือในการจำแนกประเภท MLP จะแบ่งประเภทข้อมูลเป็นเครือข่ายตามปกติหรือภายใต้การโจมตี ซึ่งกลไกยังระบุถึงโหนดที่ได้รับผลกระทบจากการโจมตีและระบุโหนดของผู้โจมตี

กลไกที่เสนอเพื่อตรวจจับ Misappropriation Attack ใน IoT

1. สร้างคุณสมบัติในการตรวจจับ Misappropriation Attack ใน IoT คือ คุณสมบัติที่เลือกเป็นอินพุตสำหรับโมเดลการตรวจจับใด ๆ ควรมีความสัมพันธ์อย่างมากกับเป้าหมาย

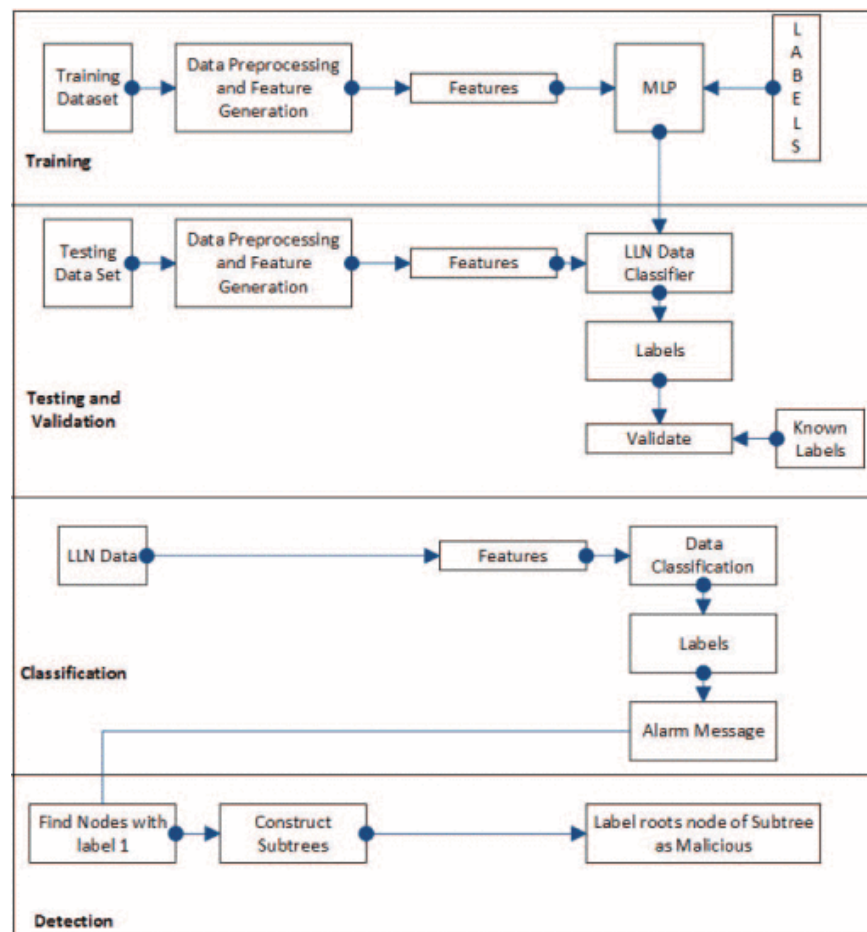
2. แบบจำลอง มี 3 องค์ประกอบหลักคือ

- สภาพแวดล้อมการจำลอง Cooja : การจำลอง Cooja เป็นแพลตฟอร์มการจำลองที่จัดทำโดย Contiki OS เพื่อจำลองเครือข่ายเซ็นเซอร์ไร้สาย Cooja จัดเตรียมไบนารีเพื่อเรียกใช้งานโหนดเซ็นเซอร์ประเภทต่างๆ ในการจำลองของเราเรามีมัลทินทอปป้า

- Mote output Collector : Mote output ของการจำลองถูกรวบรวมเพื่อวิเคราะห์และตรวจจับการโจมตี

- หน่วยตรวจจับการโจมตี : นี่เป็นเครือข่าย Multilayer Perceptron ซึ่งมีความแตกต่างของจุดข้อมูลสำหรับโหนดทั้งหมดใน DODAG และจัดประเภทพวกเขาเป็นปกติ (0) หรือภายใต้การโจมตี (1)

3. หน่วยตรวจจับการโจมตีโดยอิงจาก Multilayer Perceptron



ภาพที่ 1 โครงสร้างการทำงาน [20]

## 5. วิธีดำเนินการวิจัย

### 5.1 การรวบรวมข้อมูลจากงานวิจัยที่เกี่ยวกับหัวข้อ

รวบรวมบทวิจัยจากแหล่งข้อมูลงานวิชาการต่าง ๆ ที่เป็นประโยชน์งานที่ศึกษา และนำมาใช้ในการวิเคราะห์รูปแบบการโจมตีโดยปฏิเสธการให้บริการบนเครือข่ายอินเทอร์เน็ตประสานสรรพสิ่งด้วยเทคนิคการเรียนรู้ของเครื่อง

### 5.2 การศึกษาข้อมูลที่ได้นงานวิจัยและทดลองใช้เครื่องมือ



ศึกษากระบวนการทำงานของการโจมตีโดยปฏิเสธการให้บริการบนเครือข่ายอินเทอร์เน็ตประสาทรพสิ่ง โดยศึกษาวิธีการทำงานแต่ละโมเดลในการจำแนกและทำนายประเภทของข้อมูล จากนั้นทดลองทำและนำมาวิเคราะห์ข้อมูลในการทำนาย

### 5.3 การสรุปข้อมูลจากการศึกษางานวิจัย

สรุปข้อมูลเนื้อหาต่าง ๆ ที่ได้จากการศึกษา เพื่อให้เข้าใจหลักการทำงานของวิธีการทำเหมืองข้อมูลเพื่อหาวิธีตรวจจับการโจมตีโดยปฏิเสธการให้บริการบนเครือข่ายอินเทอร์เน็ตประสาทรพสิ่ง จากนั้นเลือกใช้เครื่องมือและรูปแบบตัวโมเดลที่ใช้ในการวิเคราะห์ข้อมูลตามความเหมาะสม

### 5.4 ทำเหมืองข้อมูลเพื่อหาวิธีตรวจจับการโจมตีโดยปฏิเสธการให้บริการบนเครือข่ายอินเทอร์เน็ตประสาทรพสิ่ง

นำชุดข้อมูลมาทำเหมืองข้อมูลเพื่อหาความสัมพันธ์ของข้อมูลต่าง ๆ แล้วนำมาวิเคราะห์เพื่อหาปัจจัยที่มีผลต่อการป้องกันการโจมตีโดยปฏิเสธการให้บริการบนเครือข่ายอินเทอร์เน็ตประสาทรพสิ่ง ซึ่งจะสามารถใช้หารูปแบบที่เหมาะสมในการป้องกันได้

### 5.5 ทดลอง ทดสอบและปรับปรุง

ทดลองหาวิธีการป้องกันใหม่ ๆ ที่มีประสิทธิภาพดีกว่าวิธีการเดิม จากนั้นทดลองใช้งานโดยการป้อนข้อมูลใส่แบบจำลองเพื่อทดสอบว่าสามารถให้ผลลัพธ์ที่ถูกต้องได้ทั้งหมดร้อยละเท่าใด และทำการปรับปรุงแบบจำลองเพื่อให้ได้ผลลัพธ์ที่ดีที่สุด

### 5.6 สรุปผลการทำเหมืองข้อมูลเพื่อหาวิธีตรวจจับการโจมตีโดยปฏิเสธการให้บริการบนเครือข่ายอินเทอร์เน็ตประสาทรพสิ่ง

สรุปผลการทำเหมืองข้อมูลเพื่อหาวิธีตรวจจับการโจมตีโดยปฏิเสธการให้บริการบนเครือข่ายอินเทอร์เน็ตประสาทรพสิ่งที่สามารถได้ผลลัพธ์ถูกต้องและผิดพลาดว่ามีร้อยละเป็นเท่าใดจากข้อมูลที่ได้ทำการทดสอบทั้งหมด

### 5.7 สร้างโมเดล

จัดทำโมเดลตรวจจับการโจมตีโดยปฏิเสธการให้บริการบนเครือข่ายอินเทอร์เน็ตประสาทรพสิ่ง

## 6. ขอบเขตและข้อจำกัดของการวิจัย

### ชุดข้อมูลที่ 1 [21]

เครือข่ายการเฝ้าระวังวิดีโอกล้อง IP จริงประกอบด้วยการตั้งค่ากล้องวงจรปิด HD สองแบบ จำนวนแบบละ 4 ตัว ใช้พลังงานผ่าน PoE และเชื่อมต่อกับ DVR ผ่านอุโมงค์ VPN ในแต่ละสถานที่ DVR ที่ใช้ระยะไกลช่วยให้ผู้ใช้สามารถเข้าถึงสตรีมวิดีโอไปทั่วโลกผ่านการเชื่อมต่อ VPN แบบคลาวด์ถึงไซต์ กล้องที่ใช้ในเครือข่ายและการกำหนดค่าต่างๆได้อธิบายไว้ในภาพที่ 3

การโจมตีจำนวนหนึ่งซึ่งสามารถดำเนินการบนเครือข่ายกล้องวงจรปิดได้ การโจมตีที่สำคัญที่สุดส่งผลกระทบต่อความพร้อมใช้งานและความสมบูรณ์ของฮาร์ดแวร์วิดีโอ เช่น SYN flood ในกล้องเป้าหมาย man in the middle attack เกี่ยวข้องกับการฉีควิดีโอในสตรีมวิดีโอสด ดังนั้นในการประเมินจึงมุ่งเน้นไปที่การโจมตีประเภทนี้ ภาพที่ 2 สรุปชุดข้อมูลการโจมตีที่ใช้ในการทดลอง

การตั้งค่า wiretap ที่ใช้งานอยู่ใช้ Raspberry PI 3B เป็นบริดจ์เครือข่ายทางกายภาพ PI ได้รับอะแดปเตอร์ USB ต่ออีเธอร์เน็ตเพื่อข้ามพอร์ตอีเธอร์เน็ตที่สองจากนั้นในทางกายภาพได้วางไว้ตรงกลางของสายเคเบิล เครือข่ายเพิ่มเติมคือเครือข่าย Wi-Fi ที่มีอุปกรณ์ 9 IoT และพีซีสามเครื่อง อุปกรณ์ IoT ประกอบไปด้วย Thermostat , มอนิเตอร์สำหรับจับตามองเด็กทารก webcam กระดิ่งประตู 2 ตัว และกล้องรักษาความปลอดภัยราคาถูก 4 ตัว จากนั้นติดตั้งหนึ่งในกล้องรักษาความปลอดภัยด้วยตัวอย่างจริงของ Mirai botnet malware

ไฟล์ pcap มีข้อมูลจำนวน 764,137 แกว เป็นปกติ 121,621 แกว และโจมตี 642,516 แกว

Attack Type	Attack Name	Tool	Description: The attacker...	Violation	Vector	# Packets	Train [min.]	Execute [min.]
Recon.	OS Scan	Nmap	...scans the network for hosts, and their operating systems, to reveal possible vulnerabilities.	C	1	1,697,851	33.3	18.9
	Fuzzing	SFuzz	...searches for vulnerabilities in the camera's web servers by sending random commands to their cgis.	C	3	2,244,139	33.3	52.2
Man in the Middle	Video Injection	Video Jack	...injects a recorded video clip into a live video stream.	C, I	1	2,472,401	14.2	19.2
	ARP MitM	Ettercap	...intercepts all LAN traffic via an ARP poisoning attack.	C	1	2,504,267	8.05	20.1
	Active Wiretap	Raspberry PI 3B	...intercepts all LAN traffic via active wiretap (network bridge) covertly installed on an exposed cable.	C	2	4,554,925	20.8	74.8
Denial of Service	SSDP Flood	Saddam	...overloads the DVR by causing cameras to spam the server with UPnP advertisements.	A	1	4,077,266	14.4	26.4
	SYN DoS	Hping3	...disables a camera's video stream by overloading its web server.	A	1	2,771,276	18.7	34.1
	SSL Renegotiation	THC	...disables a camera's video stream by sending many SSL renegotiation packets to the camera.	A	1	6,084,492	10.7	54.9
Botnet Malware	Mirai	Telnet	...infects IoT with the Mirai malware by exploiting default credentials, and then scans for new vulnerable victims network.	C, I	X	764,137	52.0	66.9

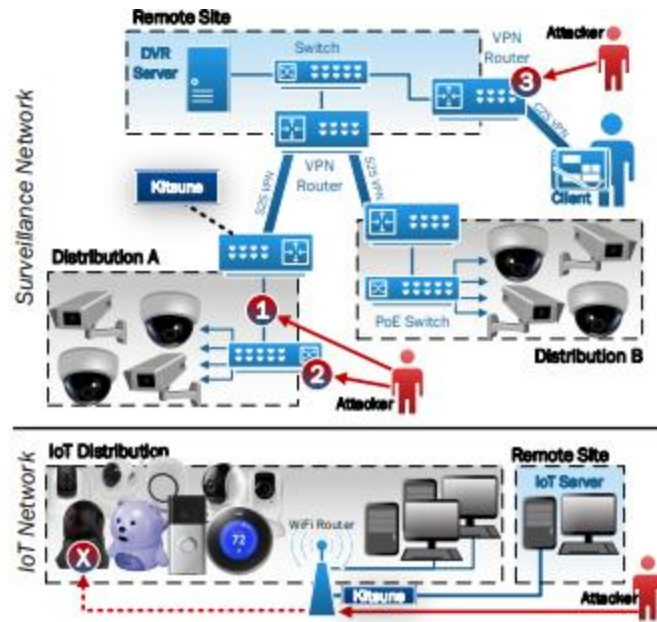
ภาพที่ 2 ชุดข้อมูล [21]

	SNC-EM602RC	SNC-EM600	SNC-EB600	SNC-EB602R
Resolution	1280x720			
Codec	H.264/MPEG4			
Frames/Sec	15			
Avg. Packets/Sec	195	350	290	320
Avg. Bandwidth	1.8 Mbit/s	1.4 Mbit/s	1.8 Mbit/s	1.8 Mbit/s
Protocol	RTP	RTP	Https (TLSv1)	Http/TCP

ภาพที่ 3 ข้อมูลจำเพาะและสถิติของกล้องที่ใช้ในการทดลอง [21]



ภาพที่ 4 ซ้าย SNC-EM602RC. ขวา SNC-EB602R [21]



ภาพที่ 5 เครือข่ายเฝ้าระวัง (บนสุด) และเครือข่าย IoT (ด้านล่าง) [21]

ชุดข้อมูลที่ 2 [22]

ไฟล์เหล่านี้ถูกสร้างขึ้นในห้องปฏิบัติการ Stratosphere ซึ่งเป็นส่วนหนึ่งของโครงการ Aposemat เพื่อรวบรวมมัลแวร์ IoT ที่ถูกจับที่ Done ในมหาวิทยาลัย CVUT ที่ปราก สาธารณรัฐเช็ก เพื่อจัดเก็บปริมาณการใช้มัลแวร์ IoT ที่มีอายุการใช้งานยาวนานและเพื่อสร้างไฟล์ netflows ที่มีป้ายกำกับ

- Infected device: 192.168.1.195

- Default GW: 192.168.1.1

ไฟล์ pcap มีข้อมูลจำนวน 233,865 แถว เป็นปกติ 5,396 แถว และโจมตี 228,469 แถว

ขอบเขตงาน

วิเคราะห์ข้อมูลโดยใช้โมเดลดังนี้ Decision Tree ,Random Forest ,Neural Networks, k nearest neighbor, Logistic Regression ,Naïve Bayes ,Support Vector Machine และใช้ชุดข้อมูลจากสองแหล่ง [21] [22] ที่อธิบายจากข้างต้น เมื่อได้โมเดลแล้วจะวัดผลโมเดลโดยใช้ Accuracy Recall Precision และ F-measure

## 7. สถานที่ทำวิจัย

สาขาวิชาวิทยาการคอมพิวเตอร์ คณะวิทยาศาสตร์ มหาวิทยาลัยขอนแก่น หรืออื่นๆ

## 8. ประโยชน์ที่คาดว่าจะได้รับ

โมเดลสามารถตรวจจับการโจมตีโดยปฏิเสธการให้บริการบนเครือข่ายอินเทอร์เน็ตประสานสรรพสิ่งได้

## 9. แผนและระยะเวลาดำเนินการ

ตารางการดำเนินงานและระยะเวลา

กิจกรรม	กรกฎาคม		สิงหาคม					กันยายน					ตุลาคม				
	4	5	1	2	3	4	5	1	2	3	4	5	1	2	3	4	5
1. การรวบรวมข้อมูลจากงานวิจัยเกี่ยวกับหัวข้อ																	
2. การศึกษาข้อมูลที่ได้จากงานวิจัยและทดลองใช้เครื่องมือ																	
3. การสรุปข้อมูลจากการศึกษาจากงานวิจัย																	
4. ทำเหมืองข้อมูลเพื่อหาวิธีตรวจจับการโจมตีโดยปฏิเสธการให้บริการบนเครือข่ายอินเทอร์เน็ตประสานสรรพสิ่ง																	
5. ทดลอง ทดสอบและปรับปรุง																	
6. สรุปผลการทำเหมืองข้อมูลเพื่อหาวิธีตรวจจับการโจมตีโดยปฏิเสธการให้บริการบนเครือข่ายอินเทอร์เน็ตประสานสรรพสิ่ง																	
7. สร้างโมเดล																	

## 10. งบประมาณ

หมวดวัสดุอุปกรณ์

- ค่าวัสดุสำนักงาน (กระดาษ ปากกา และอื่นๆ ) 20 บาท
- ค่าวัสดุคอมพิวเตอร์ (แผ่นดิสก์ ซีดี และอื่นๆ ) 20 บาท

หมวดค่าใช้สอย

- ค่าถ่ายเอกสาร 20 บาท
- ค่าจัดรูปเล่ม 100 บาท

หมวดค่าใช้จ่ายอื่นๆ

## 11. เอกสารอ้างอิง

- [1] “ThaiCERT ไทยเซิร์ต - Botnet of Things - ภัยคุกคามจาก Internet of Things และแนวทางการรับมือ.” Accessed September 10, 2019. <https://www.thaicert.or.th/papers/general/2016/pa2016ge001.html>.
- [2] Singh, S., and N. Singh. “Internet of Things (IoT): Security Challenges, Business Opportunities Reference Architecture for E-Commerce.” In 2015 International Conference on Green Computing and Internet of Things (ICGCIoT), 1577–81, 2015. <https://doi.org/10.1109/ICGCIoT.2015.7380718>.
- [3] “Internet of Things: Six Key Characteristics.” Frog (blog), August 23, 2014. <https://designmind.frogdesign.com/2014/08/internet-things-six-key-characteristics/>.
- [4] “5 Major Types of DOS Attack | Learn & Know Them.” Concise Courses, December 13, 2018. <https://www.concise-courses.com/5-major-types-of-dos-attack/>.
- [5] “ตัวอย่างประเภทการโจมตีในระบบเครือข่าย Internet.” sssangtopo (blog), October 19, 2012. <https://sssangtopo.wordpress.com/about/ตัวอย่างประเภทการโจมตี/>
- [6] Richard, J. R. and Geatz, M. W. (2003). Data Mining a Tutorial-Based Primer. Pearson Education Inc.
- [7] “สมการการประมาณค่าเฉลี่ยทั่วไปสำหรับการวิเคราะห์ข้อมูลเชิงกลุ่ม.” Accessed August 15, 2019. [http://www.stat.mju.ac.th/nucs2018/Stat\\_Html/notice\\_3.php](http://www.stat.mju.ac.th/nucs2018/Stat_Html/notice_3.php).
- [8] จิราภา เลหาหรณันท์, รชต ลิ้มสุทธิวันภูมิ และ บัณฑิต ฐานะโสภณ. [ม.ป.ป]. การใช้เทคนิคการทำเหมืองข้อมูลในการจำแนกและคัดเลือกแขนงวิชาสำหรับนักศึกษาคณะเทคโนโลยีสารสนเทศ. กรุงเทพฯ : คณะเทคโนโลยีสารสนเทศ สถาบันเทคโนโลยีพระจอมเกล้าเจ้าคุณทหารลาดกระบัง
- [9] “มหาวิทยาลัยเทคโนโลยีมหานคร.” Accessed August 15, 2019. <http://www.mut.ac.th/research-detail-92>.
- [10] Udovychenko, Y., A. Popov, and I. Chaikovsky. “Ischemic Heart Disease Recognition by K-NN Classification of Current Density Distribution Maps.” In 2015 IEEE 35th International Conference on Electronics and Nanotechnology (ELNANO), 402–5, 2015. <https://doi.org/10.1109/ELNANO.2015.7146919>.
- [11] จิราพร วังหอม, ญาดา พรภักดี, เนรัญชรา สาครเจริญ, วิราวรรณ พุทธมัตย์, สนธยา เลิศสงคราม, อุทุมพร บุญจำรูญ. [ม.ป.ป.]. ค้นเมื่อ 20 พฤศจิกายน 2561, จาก <http://home.kku.ac.th/wichuda/DMining/Sudent/DT.ppt>
- [12] ศรีญณา มาปลูก. (2559). การวิเคราะห์ข้อมูลด้วยเทคนิค Data Mining โดยซอฟต์แวร์ RapidMiner Studio 6. ค้นเมื่อ 20 พฤศจิกายน 2561, จาก <https://erp.mju.ac.th/articleDetail.aspx?qid=579>
- [13] Swets, J. (1988). Measuring the accuracy of diagnostic systems. Science, 240, 1285–1293. [http://wixtedlab.ucsd.edu/publications/Psych%20218/Swets\\_1988.pdf](http://wixtedlab.ucsd.edu/publications/Psych%20218/Swets_1988.pdf)
- [14] มุสิกขันธ์, ภัคธรา, สิริภัทร เขียวชาญวัฒนา, and คำรณ สุนติ. “เครื่องจักรเรียนรู้เชิงวิวัฒนาการโดยใช้พื้นฐานของขั้นตอนการค้นหาค่าที่เหมาะสมแบบสเต็ปไซด์แรนดอมและขั้นตอนวิธีแบบทิ้งห้อย.” Information Technology Journal 8, no. 2 (2012): 26–32.
- [15] “Confusion Matrix.” Plagad’s Blog (blog), August 26, 2010. <https://plagad.wordpress.com/2010/08/26/confusion-matrix/>.

- [16] Satangmongkol, Kasidis. “อธิบาย 10 Metrics พื้นฐานสำหรับวัดผลโมเดล Machine Learning.” DataRockie, March 30, 2019. <https://datarockie.com/2019/03/30/top-ten-machine-learning-metrics/>.
- [17] รวมทรัพย์, ธวัช. “การจำแนกใบพืชโดยใช้คุณลักษณะรูปทรงและพื้นผิวของใบพืชด้วย ขั้นตอนวิธีเชิงพันธุกรรม.” Thesis, ธวัช รวมทรัพย์, 2560. <http://dspace.spu.ac.th/handle/123456789/5155>.
- [18] Uma, K. V., and E. S. Blessie. “Survey on Android Malware Detection and Protection Using Data Mining Algorithms.” In 2018 2nd International Conference on 2018 2nd International Conference on I-SMAC (IoT in Social, Mobile, Analytics and Cloud) (I-SMAC)I-SMAC (IoT in Social, Mobile, Analytics and Cloud) (I-SMAC), 209–12, 2018. <https://doi.org/10.1109/I-SMAC.2018.8653720>.
- [19] Eziam, E., L. M. S. Jaimes, A. James, K. S. Nwizege, A. Balador, and K. Tepe. “Machine Learning-Based Recommendation Trust Model for Machine-to-Machine Communication.” In 2018 IEEE International Symposium on Signal Processing and Information Technology (ISSPIT), 1–6, 2018. <https://doi.org/10.1109/ISSPIT.2018.8705147..>
- [20] Sahay, R., G. Geethakumari, K. Modugu, and B. Mitra. “Traffic Convergence Detection in IoT LLNs: A Multilayer Perceptron Based Mechanism.” In 2018 IEEE Symposium Series on Computational Intelligence (SSCI), 1715–22, 2018. <https://doi.org/10.1109/SSCI.2018.8628921>.
- [21] Mirsky, Yisroel, Tomer Doitshman, Yuval Elovici, and Asaf Shabtai. “Kitsune: An Ensemble of Autoencoders for Online Network Intrusion Detection.” ArXiv:1802.09089 [Cs], February 25, 2018. <http://arxiv.org/abs/1802.09089>.
- [22] “Malware on IoT Dataset.” Stratosphere IPS. Accessed September 25, 2019. <https://www.stratosphereips.org/datasets-iot>.

ชื่อ นางสาวติตยา ศรีวุฒิทรัพย์ รหัสประจำตัว 593021270-9

Miss Titaya Sriwuttisap

นักศึกษาระดับปริญญาตรี วิทยาการคอมพิวเตอร์

อาจารย์ที่ปรึกษาโครงการ ผศ.ดร.ชิตสุธา สุ่มเล็ก

Project Advisor Asst. Prof. Chitsutha Soomlek

### ชื่อหัวข้อโครงการ

ภาษาไทย การวิเคราะห์รูปแบบการโจมตีโดยปฏิเสธการให้บริการบนเครือข่ายอินเทอร์เน็ตประสานสรรพสิ่งด้วยเทคนิคการเรียนรู้ของเครื่อง

ภาษาอังกฤษ Pattern Analysis of Denial of Service Attack in Internet of Things Networks using Machine Learning

### ผลลัพธ์การทดลอง

นำข้อมูลแหล่งที่ 1 [1] และแหล่งที่ 2 [2] มาเตรียมการดังนี้

1. ไฟล์ที่ได้จากต้นฉบับเป็นไฟล์ Pcap ดังนั้นทำการส่งออกไฟล์เป็นไฟล์ CSV โดยแอตทริบิวท์ที่นำมาใช้ คือ Label ,Time ,Protocol ,Length ,Sourceport ,Winsize ,SEQ ,FLAGACK ,TCPACK , timestampsecr ,sack\_re ,FLAG
  - Label 0 หมายถึง การใช้งานทั่วไป
  - 1 หมายถึง การโจมตี
  - FLAGACK 1 หมายถึง not set
  - 2 หมายถึง set
2. ข้อมูลสำหรับฝึก แหล่งที่ 1 และ 2 นำข้อมูลการใช้งานทั่วไปมาจำนวน 2500 นำข้อมูลการโจมตีมาจำนวน 2500
3. ข้อมูลสำหรับทดสอบ แหล่งที่ 1 และ 2 นำข้อมูลการใช้งานทั่วไปมาจำนวน 1250 นำข้อมูลการโจมตีมาจำนวน 1250
4. ทำการนอร์มอลไลซ์ข้อมูลให้อยู่ระหว่าง 0 – 1
5. ช่องที่ว่างทั้งหมดทำการเติม 2
6. ทำการฝึกข้อมูลโดยวิธี k-fold คือนำข้อมูลแบ่งเป็น 10 ส่วน 9 ส่วนใช้เทรนนิ่ง อีกหนึ่งส่วนใช้ทดสอบ ทำจนครบสิบรอบจะได้ค่าเฉลี่ย Train accuracy
7. ทำการทดสอบโมเดลที่ได้โดยใช้ข้อมูลที่เตรียมไว้ค่าเฉลี่ย Test accuracy

	Decision Tree	Random Forest	Neural Networks	knn	LogisticRe gression	Naïve Bayes	Support Vector Machine	ELM
Time	0.113 59357 83386 2305	0.075 79660 41564 9414	7.834 53822 13592 53	0.117 83933 63952 6367	0.446 30789 75677 49	0.002 99072 26562 5	1.262 62402 53448 486	0.037 23073 00567 62695
accuracy	94.67 00000 00000 02	94.72	76.78	92.94	76.51	74.36	76.66 99999 99999 99	49.84 99999 99999 994

อ้างอิง

- [1] Y. Mirsky, T. Doitshman, Y. Elovici, and A. Shabtai, “Kitsune: An Ensemble of Autoencoders for Online Network Intrusion Detection,” in NDSS, 2018.
- [2] “CTU-13 Dataset.” Stratosphere IPS. Accessed September 10, 2019.  
<https://www.stratosphereips.org/datasets-ctu13>.